

# 静电纺制备 $\text{TiO}_2$ /PVA 复合纳米纤维 及其光催化性能研究

丁源维, 王 駒, 姚菊明, 王 晟

(浙江理工大学先进纺织材料与制备技术教育部重点实验室, 杭州 310018)

**摘 要:** 通过静电纺丝的方法制备一种以二氧化钛( $\text{TiO}_2$ )为催化剂, 聚乙烯醇(PVA)为载体的  $\text{TiO}_2$ /PVA 复合纳米纤维光催化材料。使用 FE-SEM, XRD, Tg, FTIR 对制备的  $\text{TiO}_2$ /PVA 复合纳米纤维膜进行了表征, 并考察了其紫外光照射下光催化降解罗丹明 B(Rh B) 的能力。结果表明: 制备的  $\text{TiO}_2$ /PVA 复合纳米纤维具有较高的光催化活性。

**关键词:** 二氧化钛; 静电纺丝; 聚乙烯醇; 光催化; 纳米粒子

**中图分类号:** TQ426.8      **文献标志码:** A

## 0 引 言

半导体  $\text{TiO}_2$ <sup>[1]</sup> 以其无毒、价廉、催化活性高、化学性质稳定且能将有机物完全矿化成  $\text{CO}_2$ ,  $\text{H}_2\text{O}$  等无机小分子<sup>[2]</sup> 的特点, 引起了越来越多的学者关注。利用  $\text{TiO}_2$  光催化剂降解有机污染物是目前研究的热点, 例如, 杨辉等<sup>[3]</sup> 用酞菁敏化  $\text{TiO}_2$  使之对罗丹明 B 有较高的催化活性, Ikeda 等<sup>[4]</sup> 通过对  $\text{TiO}_2$  颗粒表面进行不对称的烷基化改性, 制备了一种能聚集在液-液两相界面的光催化剂, 在紫外光照射下, 不用搅拌就可以对苯进行催化氧化。

然而, 由于光催化研究中大多使用的是悬浊型催化反应模式, 即将催化剂粉末直接加入到溶液中形成悬浊液体系<sup>[5-6]</sup>, 在机械搅拌的情况下进行光催化反应。这种模式简单方便, 催化活性高, 但是由于粉体催化剂难以分离和回收, 会造成严重的二次污染。这些问题均制约了光催化产业化发展。而负载型催化模式能很好地解决分离回收的问题, 它利用载体将光催化剂固定, 可防止催化剂的流失, 并且便于分离和回收。此外载体<sup>[7-8]</sup> 形式可以多样化, 例

如颗粒状载体、平板状载体、薄膜状载体、纤维载体<sup>[9]</sup> 等, 可满足不同的实际使用要求。

静电纺丝<sup>[8]</sup> 是近年来发展起来的新型纳米纤维的制备技术, 它能够在室温下连续制备直径小至几纳米的纤维。与其他负载  $\text{TiO}_2$  的方法如溶胶-凝胶法、气相沉积、液相沉积相比, 静电纺丝制备催化剂载体方法简单, 易于操作, 成本低, 广泛地应用于组织工程支架, 药物缓释, 催化剂负载等方面, 而且所制备的纤维具有高孔隙率, 大比表面积等特点, 能够有效地增大与反应物的接触面积, 有利于光催化反应的进行。考虑到 PVA 载体能自然降解, 不会产生二次污染, 因此本文采用静电纺丝的方法制备  $\text{TiO}_2$  负载的聚乙烯醇纤维膜, 并研究  $\text{TiO}_2$ /PVA 复合纳米纤维膜作为光催化剂对罗丹明 B 的光催化降解能力。

## 1 实验部分

### 1.1 实验试剂

二氧化钛( $\text{TiO}_2$ , 德国 Degussa 公司, 商品名称 P25); 无水乙醇( $\text{CH}_3\text{CH}_2\text{OH}$ , 分析纯, 杭州三鹰化

收稿日期: 2012-06-07

基金项目: 国家自然科学基金资助项目(50802088, 31070888, 21103152); 浙江省自然科学基金资助项目(R2101054, Y4080392)

作者简介: 丁源维(1985-), 男, 湖北孝感人, 硕士研究生, 研究方向为纳米半导体光催化材料。

通信作者: 王晟, E-mail: wangsheng571@hotmail.com

学试剂有限公司);罗丹明 B(工业用,东京化成工业株式会社);聚乙烯醇(PVA,分析纯, $M_n=70\ 000$ ,国药集团化学试剂有限公司);去离子水。

### 1.2 实验仪器

电热鼓风干燥箱(DHG-9140A型,必能信上海有限责任公司);高压电源(SPF-50美国Glassman);微量注射泵(浙江斯密斯医学仪器有限公司);XPA-2光化学反应仪(南京胥江机电厂)。

### 1.3 测试与表征

热重(Tg)分析采用Pyris1热重分析仪,空气气氛,升温速率为 $10^\circ\text{C}/\text{min}$ ;红外光谱分析(FT-IR)采用Nicolet 5700(美国)红外光谱仪测定,KBr压片,光谱范围 $400\sim 4\ 000\ \text{cm}^{-1}$ ;XRD分析采用ARL2X-TRA型X射线衍射仪进行测试,扫描速度 $5^\circ/\text{min}$ ;纤维膜形貌分析采用日立S4800场发射扫描电镜(FE-SEM);采用日立公司U-3010型紫外-可见分光光度计对目标物染料降解前后的UV-vis光谱曲线进行测试。

### 1.4 $\text{TiO}_2$ /PVA复合纳米纤维光催化剂的制备

取 $\text{TiO}_2$  0.32 g加入到10 mL水溶液中,超声振荡3 h,加入0.64 g的PVA固体,搅拌一夜,然后搅拌加热到 $90^\circ\text{C}$ ,保持3 h,得到均一的乳白色溶液。将得到的溶液转移到注射器中,在相对湿度小于50%的条件下静电纺丝,具体纺丝参数为:电压21 kV;推进速度1 mL/h;接受距离15 cm。将制备的复合纤维膜干燥保存。

### 1.5 光催化性能的表征

取90 mg $\text{TiO}_2$ /PVA复合纳米纤维膜,裁剪成 $1\ \text{cm}\times 5\ \text{cm}$ 的长方形,加入到装有20 mL的 $1\times 10^{-5}\ \text{mol/L}$ 的罗丹明B溶液的试管中,在XPA-2光化学反应仪中进行光催化实验。光源为500 W高压汞灯,照射时样品台与高压汞灯垂直距离保持为30 cm,间隔相同的时间,取试管中溶液进行紫外-可见光谱测试。罗丹明B溶液的降解效果用降解率表示,降解率 $=C/C_0\times 100\%$ ,其中 $C_0$ 为光催化反应前的溶液浓度, $C$ 为光催化反应后的浓度。

## 2 结果与讨论

### 2.1 FE-SEM分析

PVA是一种水溶性高分子,不仅有良好的溶解性、强度、耐酸耐碱性能,而且溶于热水后无色无味、

无毒。本实验中采用的是17-99型(聚合度为1 700,醇解度为99%)聚乙烯醇又称浆纱树脂(sizing resin),白色或微黄色粉末或絮状物固体,玻璃化温度 $85^\circ\text{C}$ ,皂化值 $3\sim 12\ \text{mgKOH/g}$ ,溶于 $90\sim 95^\circ\text{C}$ 的热水,不溶于冷水。这是由于高醇解度的PVA分子链上的羟基基团在PVA分子内或分子间形成氢键,阻碍它在水中的溶解。选用PVA的原因是:首先PVA本身是良好的粘结剂,有利于光催化剂的固定;其次PVA是水溶性的,可避免在配制纺丝液时使用有毒的有机溶剂。

在以往的实验中发现,纺丝参数中电压、推进速度、接受距离和浓度对纤维的形貌都有一定的影响,但是电压、推进速度和接受距离仅仅影响细流的分裂能力,对纤维形貌影响不大,而浓度是由聚合物性质决定,直接影响纤维形貌。图1中(a)~(d)是不同浓度PVA溶液静电纺丝得到的纳米纤维的FE-SEM照片。质量分数4%的PVA溶液静电纺丝得到的为典型珠丝(beaded-fiber),珠与珠之间有纤维相连。这是因为聚合物溶液浓度较低时,聚合物分子链的缠结程度低,不能形成稳定的流体,液流直径在表面张力的作用下收缩,形成液珠或珠丝。6%和8%PVA溶液静电纺丝都能得到表面光滑,直径均一的纤维。10%PVA溶液静电纺时,纤维中有明显的液滴,不利于静电纺的进行。

图1中(g)~(h)是4%和10%的PVA溶液静电纺丝负载 $\text{TiO}_2$ 的纤维膜照片。图中可发现有串珠一样的纤维,说明 $\text{TiO}_2$ 光催化剂不能很好地分散在纤维上,而这是载体形貌决定的。催化剂团聚不利于光催化反应的进行。故选择6%的PVA负载的 $\text{TiO}_2$ 纤维膜进行后续实验。

图1中(e)图是50%(以PVA的质量计算)的 $\text{TiO}_2$ 负载PVA的FE-SEM图片,(f)图是(e)图的高倍图片。由图中可观察到,所制得的静电纺丝纤维表面变得凹凸不平,纤维上节点增多。这是因为在高压电场的作用下, $\text{TiO}_2$ 会随着聚合物溶液一起喷出,形成细流,然后经过溶剂挥发和相分离,形成纳米纤维,在接收板上堆积成纤维膜。当 $\text{TiO}_2$ 随着聚合物溶液一起喷出时, $\text{TiO}_2$ 会随机分散在纤维表面或者被纤维包裹。裸露在纤维表面的 $\text{TiO}_2$ 使纤维变得凹凸不平,这部分 $\text{TiO}_2$ 是光催化的主要贡献者。

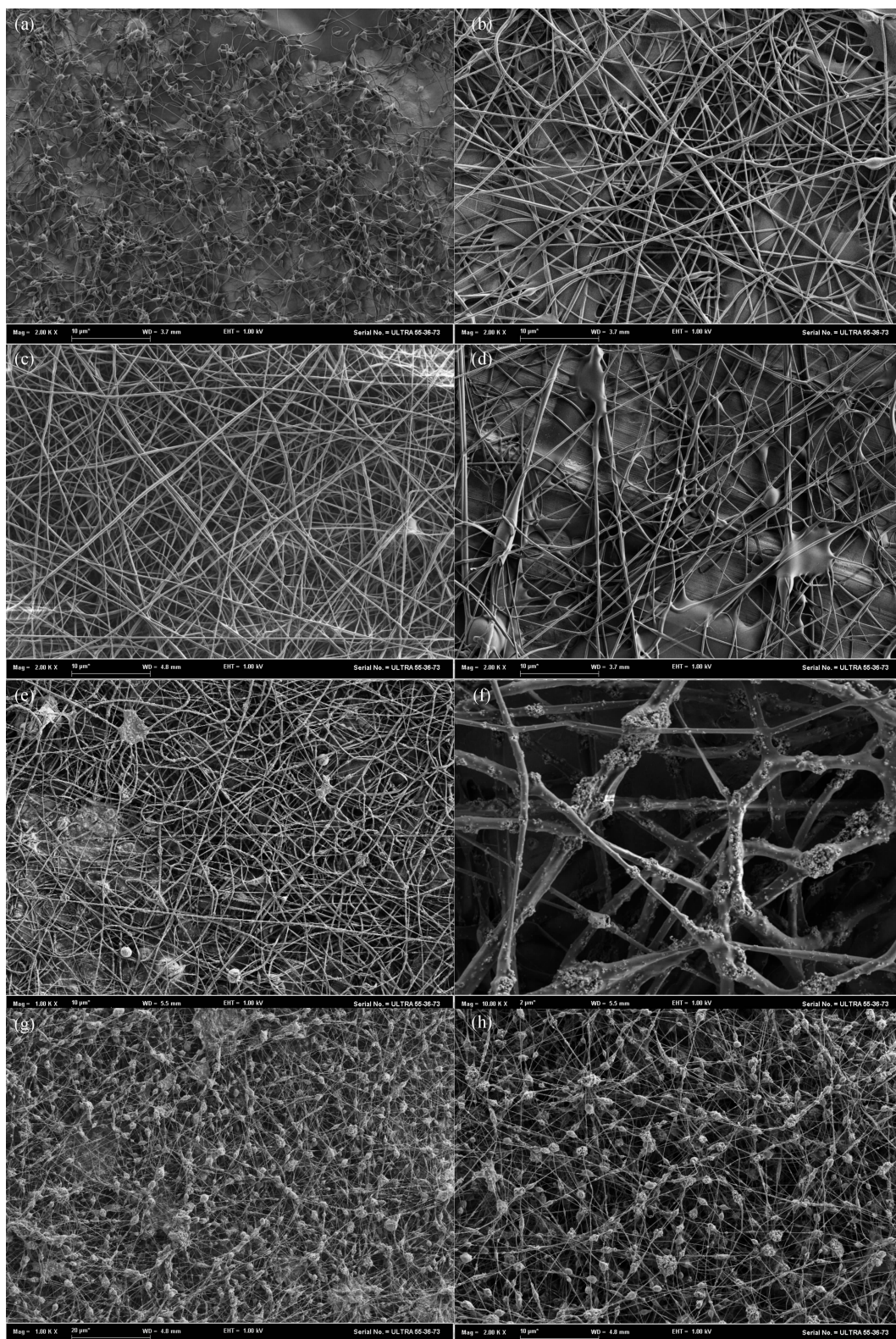


图 1 不同浓度的 PVA 及  $\text{TiO}_2/\text{PVA}$  纳米纤维膜 FE-SEM 图

注:(a)4%、(b)6%、(c)8%、(d)10%浓度的 PVA 纤维膜;(e)6%PVA :  $\text{TiO}_2/\text{PVA}$  复合纳米纤维膜;(f)6%PVA :  $\text{TiO}_2/\text{PVA}$  纤维膜高倍电镜图;(g)4%PVA :  $\text{TiO}_2/\text{PVA}$  复合纳米纤维膜;(h)10%PVA :  $\text{TiO}_2/\text{PVA}$  纤维膜高倍电镜图

## 2.2 XRD 分析

图 2 中曲线(1)和曲线(2)分别是和 P25 和  $\text{TiO}_2/\text{PVA}$  复合纳米纤维膜的 XRD 谱图。一般

P25 含有锐钛矿和金红石两种晶型,其中锐钛矿相为 85%,金红石相为 15%。曲线(1)在 25.3、37.7、48.1、54.46、56.1°和 63.39°等处的衍射峰与锐钛矿

$\text{TiO}_2$  (101)、(004)、(200)、(105)、(211)、(204)等晶面衍射相一致。而在  $27.54^\circ$ 、 $36.06^\circ$  等处的衍射峰与金红石  $\text{TiO}_2$  (110)、(101)等晶面衍射相一致。而在曲线(2)中,在  $2\theta$  为  $25.3^\circ$ 、 $48.1^\circ$  的衍射峰同样在  $\text{TiO}_2/\text{PVA}$  复合纳米纤维膜的 XRD 图上可以观察到。说明经过静电纺丝过程, $\text{TiO}_2$  的晶型没有发生变化。

此外曲线(2)  $2\theta$  为  $19.2^\circ$  处出现一个较宽的衍射峰,这对应于 PVA 的(101)晶面。衍射峰较宽说明结晶性不好。这是因为在静电纺丝的过程中,溶剂迅速挥发,短时间内就形成纳米纤维,PVA 分子来不及做规整的排列形成结晶。

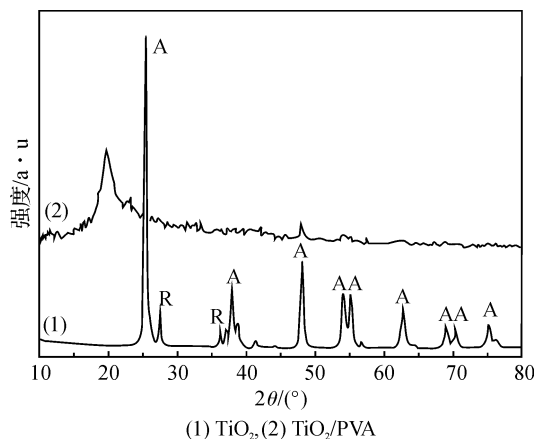
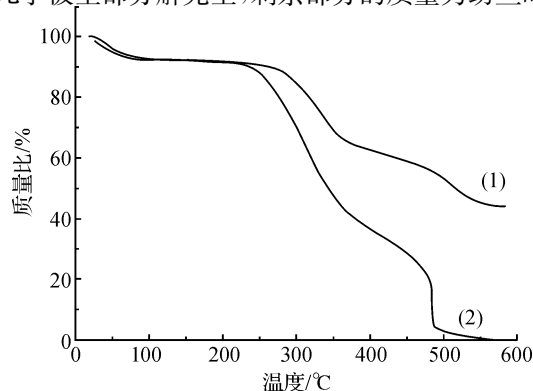


图2  $\text{TiO}_2$  和  $\text{TiO}_2/\text{PVA}$  纤维膜 XRD 谱图

A 为锐钛矿, R 为金红石

### 2.3 TG 分析

取一定质量的  $\text{TiO}_2/\text{PVA}$  复合纳米纤维膜进行热重分析结果见图 3。从图 3 中曲线(2)可以看出,  $200^\circ\text{C}$  以前主要是自由水和结合水或者配位水的脱除;  $200^\circ\text{C}$  以后主要是 PVA 分子的热分解包括羟基缩合脱水过程, C—O 的断裂和 C—C 主链断裂三个过程。从图 3 中曲线(1)可以知道  $550^\circ\text{C}$  以后有机物几乎被全部分解完全, 剩余部分的质量为纺丝时加



(1)  $\text{TiO}_2/\text{PVA}$  纤维膜, (2) PVA 纤维膜

图3  $\text{TiO}_2$  负载的 PVA 纤维膜和 PVA 纤维膜的 TG 曲线

加入的  $\text{TiO}_2$  纳米粒子, 从而可以计算得到催化剂的负载率为 48%。

### 2.4 FTIR 分析

图 4 是  $\text{TiO}_2$  负载的聚乙烯醇纤维膜的红外光谱图。从图 4 中发现, 在  $3403$ 、 $2940$ 、 $1436\text{ cm}^{-1}$  分别对应的是聚乙烯醇分子中的一 OH 的伸缩振动、—CH<sub>2</sub>—的伸缩振动、—C—H—的弯曲振动, 而  $1100\text{ cm}^{-1}$  对应的是和 PVA 结晶有关的振动,  $650\text{ cm}^{-1}$  出现的吸收峰则是加入聚合物中  $\text{TiO}_2$  分子中的一 Ti—O—的伸缩振动。

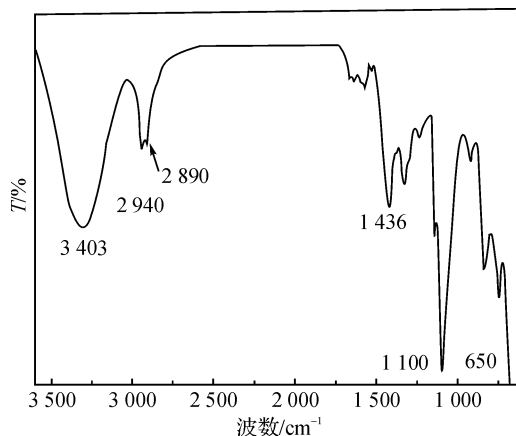
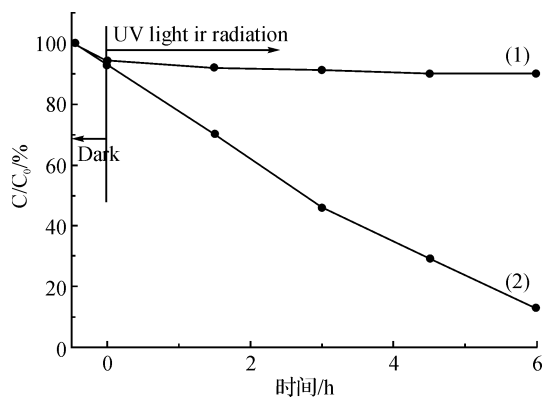


图4  $\text{TiO}_2$  负载的 PVA 纤维膜的红外曲线

### 2.5 光催化性能研究

以  $\text{TiO}_2/\text{PVA}$  复合纳米纤维膜作为光催化剂, 探讨对罗丹明 B 的光催化降解能力, 来研究其光催化性能。称取相同规格相同质量的  $\text{TiO}_2/\text{PVA}$  复合纳米纤维膜和 PVA 纤维膜置于盛有 20 mL 罗丹明 B 溶液 ( $1 \times 10^{-5}\text{ mol/L}$ ) 的试管中。经足够长时间的暗反应, 使吸附达到平衡<sup>[9-10]</sup>, 进行光催化实验。将试管放入自制的光催化装置, 在静置状态下, 用 500 W 汞灯对样品进行照射, 每隔一段时间取出试管, 检测其中染料含量的变化即对残留的染料溶液



(1) PVA 纤维膜, (2)  $\text{TiO}_2/\text{PVA}$  纤维膜

图5 纤维膜光催化降解 Rh B 的紫外-可见光谱图

进行紫外-可见测试,检测染料溶液的浓度变化。其中 PVA 纤维膜是 6% 的 PVA 直接纺丝得到;  $\text{TiO}_2/\text{PVA}$  复合纳米纤维膜是 50%  $\text{TiO}_2$  负载 PVA 得到的纤维膜。从图 5 中可以发现,经过 450 min 的紫外光照,染料溶液几乎被降解透明(图 6),降解效率达到 86.3%,显示出较高的光催化活性,并且反应完毕后,  $\text{TiO}_2/\text{PVA}$  复合纳米纤维膜便于回收<sup>[11]</sup>。

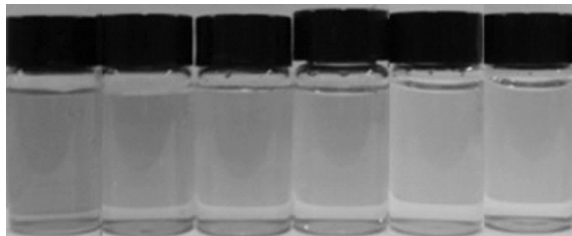


图 6 光催化降解后的染料溶液

### 3 结 论

a) 通过静电纺丝制备了高孔隙率,大比表面积的纳米纤维膜,并且成功地将  $\text{TiO}_2$  负载在了纤维膜上,便于催化剂的回收。

b) 制备的  $\text{TiO}_2/\text{PVA}$  纤维膜对罗丹明 B 有较好的降解效果,光催化活性高。

#### 参考文献:

- [1] Frank S N, Bard A. Semiconductor electrodes photoassisted oxidations and photoelectrosynthesis at polycrystalline  $\text{TiO}_2$  electrodes[J]. J Am Chem Soc, 1977, 99: 4667-4675.
- [2] Fujishima A, Rao T N, Tryk D A. Titanium dioxide photocatalysis[J]. J Photochem Photobiol C, 2000(1): 1-21.
- [3] 杨 辉, 申乾宏, 高基伟. 酞菁敏化混晶  $\text{TiO}_2$  薄膜的低温制备及其对罗丹明 B 的催化降解[J]. 催化学报, 2007, 28(12): 1072-1076.
- [4] Ikeda S, Kowata Y, Ikeue K, et al. Asymmetrically modified titanium(IV) oxide particles having both hydrophobic and hydrophilic parts of their surfaces for liquid-liquid dual-phase photocatalytic reactions[J]. Appl Catal A: General, 2004, 265: 69-74.
- [5] Linsebigler A L, Lu G, Yates J T. Photocatalysis on  $\text{TiO}_2$  surfaces: principles, mechanisms, and selected results[J]. Chem Rev, 1995, 95: 735-758.
- [6] Xu Y, Chen X. Photocatalytic reduction of dichromate over semiconductor catalysts[J]. Chem Ind, 1990, 6: 497-498.
- [7] Zhu Y, Zhang L, Wang L, et al. The preparation and chemical structure of  $\text{TiO}_2$  film photocatalysts supported on stainless steel substrates via the sol-gel method[J]. J Mater Chem, 2001, 11: 1864-1868.
- [8] 李山山, 何素文, 胡祖明. 静电纺丝的研究进展[J]. 合成纤维工业, 2009, 32(4): 44-48.
- [9] Wang Ruiyu, Juan Guo, Chen Dan. "Tube brush" like  $\text{ZnO}/\text{SiO}_2$  hybrid to construct a flexible membrane with enhanced photocatalytic properties and recycling ability [J]. J Mater Chem, 2011, 21: 19375-19380.
- [10] Kai Yung, Hong H W, Park J L, et al. Preparation of antimicrobial poly(vinyl alcohol) nanofibers containing silver nanoparticles[J]. Journal of Polymer Science: Part B, 2006, 44: 2468-2474.
- [11] Lee K H, Kim K Y, Ryu Y J, et al. Electrospun nanofiber mats of poly(vinyl chloride)/polyurethane polyblends[J]. Journal of Polymer Science: part B: Polymer Physics, 2003, 41: 1256-1262.

## Photocatalytic Performance Investigation of $\text{TiO}_2/\text{PVA}$ Nanofibers Prepared by Electrospinning

DING Yuan-wei, WANG Tao, YAO Ju-ming, WANG Sheng

(The Key Laboratory of Advanced Textile Materials and Manufacturing Technology (Zhejiang Sci-Tech University), Ministry of Education, Hangzhou 310018, China)

**Abstract:** This paper prepares  $\text{TiO}_2/\text{PVA}$  nanofibers via electrospinning and by using  $\text{TiO}_2$  as photocatalysts and PVA as carriers. The as-prepared  $\text{TiO}_2/\text{PVA}$  nanofibers are characterized by FE-SEM, XRD, TG and FT-IR. Furthermore, under UV light irradiation, the authors investigate the photodecomposition of Rhodamine B solution by applying  $\text{TiO}_2/\text{PVA}$  nanofibers as photocatalysts. The results indicate that  $\text{TiO}_2/\text{PVA}$  nanofibers are efficient photocatalysts.

**Key words:** titanium dioxide; electrospinning; PVA; photocatalysis; nanoparticles

(责任编辑: 张祖尧)